

УДК 534/621

ПОСТРОЕНИЕ МАТЕМАТИЧЕСКОЙ МОДЕЛИ НЕВODOBЫБОРЧНОГО КОМПЛЕКСА НА ЭТАПЕ КОШЕЛЬКОВАНИЯ НЕВОДА

А. В. Ивановская

Старший преподаватель

Кафедра «Высшая математика и физика»

Керченский государственный морской

технологический университет

ул. Орджоникидзе, 82, г. Керчь, Украина, 98309

Контактный тел.: 097-780-07-31

E-mail: inv07@ukr.net

Розроблена математична модель руху системи «судно – кошельковий невід», взаємодії судна та елементів неводу в процесі його кошелькування. Дана модель, на відміну від існуючих, описує динаміку процесу на всіх трьох етапах. Отримані результати добре узгоджуються з експериментальними даними

Ключові слова: математична модель, динаміка процесу, неводовибірочний комплекс, нить змінної довжини

Разработана математическая модель движения системы «судно - кошельковый невод», взаимодействия судна и элементов невода в процессе его кошелькования. Данная модель, в отличие от существующих, описывает динамику процесса на всех трех этапах. Полученные результаты хорошо согласуются с экспериментальными данными

Ключевые слова: математическая модель, динамика процесса, неводовыборочный комплекс, нить переменной длины

1. Введение

Динамические нагрузки, возникающие в машинах, рассматриваются как результат взаимодействия динамики внешней нагрузки, динамики элементов конструкции и динамики материала.

Под динамикой внешней нагрузки для промышленного оборудования понимается закон изменения внешних усилий, действующих на элементы конструкции машины во времени. Под динамикой элементов конструкции машин следует понимать разницу в восприятии ими статических и динамических внешних нагрузок. Принципиальное отличие в восприятии элементами конструкции машин статических и динамических нагрузок выражается в том, что при последних возникают упругие колебания, за счет которых действительные напряжения в элементах конструкции отличаются от напряжений, вызванных при статическом приложении той же нагрузки. Под динамикой материала понимают то, как один и тот же материал воспринимает статические и динамические нагрузки.

Моделирование и аналитическое описание всех этапов работы кошелькового невода актуальны и является важнейшей частью теории кошелькового лова рыбы. На данный момент времени исследования в области динамики работы неводовыборочного комплекса освещены в работах С.С.Торбана, А.Л.Фридмана, Ф.И. Баранова, И.Л. Бродского, В.П.Карпенко и др.

После анализа существующих моделей процесса кошелькования можно сделать следующие выводы: практически все математические модели были построены на основании упрощенных физических моделей. Это было вызвано тем, что изначально ставилась зада-

ча получения аналитических решений. В связи с развитием средств вычислительной техники появилась возможность получить численную модель процесса кошелькования и, следовательно, учесть те внешние факторы (которые возможно оценить), влияющие на процесс кошелькования и ранее неучтенные в рассмотренных работах.

2. Постановка задачи

Требуется построить математическую модель движения системы «судно - кошельковый невод», взаимодействия судна и элементов невода в процессе его кошелькования (выборки стяжного троса).

3. Результаты исследований

Одним из важных параметров сейнерной лебедки является диапазон скоростей тяги. Каждый замет кошелькового невода характеризуется специфическими особенностями – поведением объекта лова, состоянием погоды, формой невода во время замета, положением судна относительно невода и др. Вести правильно процесс кошелькования, значит учитывать все эти факторы с целью получения максимального улова. Кошелькование надо производить с такой скоростью, чтобы воспрепятствовать выходу рыбы из невода. С этой целью обычно стремятся скошельковать невод как можно быстрее.

Весь процесс можно разделить на три этапа: этап I характеризуется резким возрастанием скорости до

верхнего предела диапазона скоростей лебедки; этап II характеризуется стабилизацией скорости при незначительном ее падении по мере кошелькования; этап III – заключительный, характеризующийся уменьшением скорости тяги до минимального значения в конце кошелькования [1].

Для первого участка характерно быстрое возрастание тягового усилия и мощности, потребляемой приводом лебедки, при значительной скорости тяги.

Второй участок характеризуется относительным постоянством трех перечисленных выше параметров. Усилие в стяжном тросе и мощность, потребляемая электродвигателем сейнерной лебедки, к концу участка постепенно повышаются, причем мощность в этот момент имеет максимальное значение. Скорость же движения стяжного троса к концу второго периода падает.

Третий участок является для работы привода сейнерной лебедки наиболее напряженным. Усилие в стяжном тросе за последнюю минуту кошелькования возрастает и при подходе колец невода к канифас-блокам выстрела достигает максимального значения за все время кошелькования, скорость же движения стяжного троса постепенно снижают, и в конце кошелькования имеет минимальное значение. Мощность электродвигателя сейнерной лебедки на последнем участке остается примерно постоянной, плавно повышаясь к концу кошелькования.

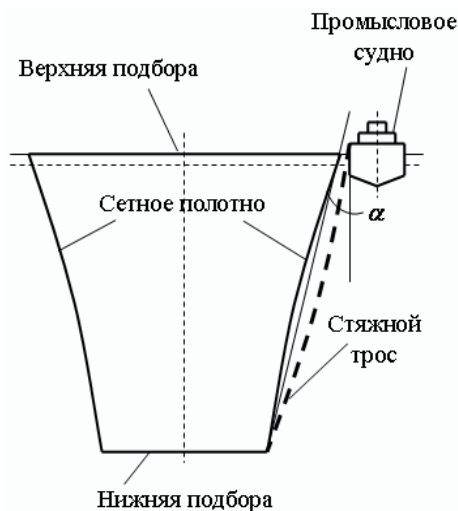


Рис. 1. Схема системы «промысловое судно – стяжной трос – невод» в процессе кошелькования

Для описания математической модели движения рассматриваемой системы воспользуемся уравнением Лагранжа II рода

$$\frac{d}{dt} \frac{\partial K}{\partial \dot{p}_i} - \frac{\partial K}{\partial p_i} = \frac{\partial A}{\partial p_i}, \quad (i=1,2). \tag{1}$$

Систему «промысловое судно – стяжной трос – невод» в процессе кошелькования условно можно изобразить в виде схемы (рис. 2). Так как угол α находится в пределах от 0 до 10 градусов и определить его достаточно сложно, то при построении математической модели примем его равным 0. При этом, это упрощение существенно не влияет на точность расчетов. Поэтому представим расчетную схему системы в виде (рис. 2).

Рассмотрим подвижную Xx и неподвижную SX системы координат, связанные между собой зависимостями

$$X(x,t) = \xi(t) - x - u(x,t)$$

$$\xi(t) = l(t) + u(l,t).$$

Так как глубина подъема небольшая, то функцию $u(x,t)$ примем в виде $u(x,t) = x\phi(t)$, где функция $\phi(t)$ описывает относительное удлинение нити.

Предположим, что проскальзывание троса по барабану при подъеме отсутствует, т.е. свое движение трос совершает со скоростью равной скорости вращения барабана, что можно выразить следующим граничным условием $\left. \frac{\partial X}{\partial t} \right|_{x=l} = v_c$, где v_c - линейная скорость точек обвода барабана, равная скорости кошелькования невода.

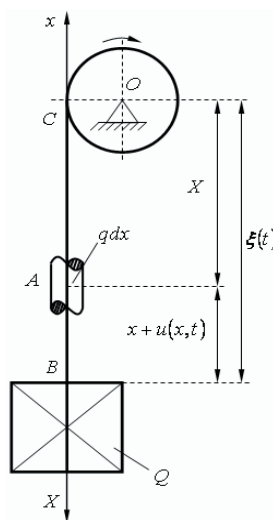


Рис. 2. Расчетная схема системы «промысловое судно – стяжной трос – невод» в процессе кошелькования

Кинетическая энергия рассматриваемой механической системы на первом и втором участках до подхода колец равна только кинетической энергии нити.

Т.к. кинетическая энергия элемента нити длиной dx равна

$$dK_q = \frac{q dx}{2g} \left(\frac{\partial X}{\partial t} \right)^2,$$

где q - вес погонного метра троса, то всей нити

$$K_q = \frac{q}{2g} \int_0^{l(t)} \left(\frac{\partial X}{\partial t} \right)^2 dx.$$

Учитывая, что

$$\frac{d\xi}{dt} = (1 + \phi) \frac{dl}{dt} + l \frac{d\phi}{dt},$$

получим

$$\frac{\partial X}{\partial t} = \frac{d\xi}{dt} - x \frac{d\phi}{dt} = (1+\phi) \frac{dl}{dt} + l \frac{d\phi}{dt} - x \frac{d\phi}{dt} = (1+\phi) \frac{dl}{dt} + (1-x) \frac{d\phi}{dt}.$$

Тогда кинетическая энергия системы на первом и втором участках

$$K_{I,II} = K_q = \frac{q}{2g} \int_0^{l(t)} \left((1+\phi) \frac{dl}{dt} + (1-x) \frac{d\phi}{dt} \right)^2 dx = \\ = \frac{ql}{2g} \left[(1+\phi)^2 \left(\frac{dl}{dt} \right)^2 + \frac{l^2}{3} \left(\frac{d\phi}{dt} \right)^2 + l(1+\phi) \frac{dl}{dt} \frac{d\phi}{dt} \right].$$

На третьем участке кинетическую энергию определим как суммарную энергию подошедших колец и выбираемого троса

$$K_{III} = K_Q + K_q,$$

$$\text{где кинетическая энергия колец } K_Q = \frac{Q}{2g} \left(\frac{d\xi}{dt} \right)^2.$$

По мере подхода колец невода к канифас-блокам выстрела их вес изменяется. Представим данную зависимость в виде линейной функции $Q(t) = k[l(t) - l_2]$, где k - коэффициент темпа роста веса, Н/м; l_2 - длина каната, выбранного во время первого и второго участков.

Следовательно,

$$K_Q = \frac{k(1-l_2)}{2g} \left((1+\phi) \frac{dl}{dt} + l \frac{d\phi}{dt} \right)^2$$

В результате,

$$K_{III} = \frac{1}{2g} \left[(ql + k(1-l_2))(1+\phi)^2 \left(\frac{dl}{dt} \right)^2 + \right. \\ \left. + l^2 \left(\frac{ql}{3} + k(1-l_2) \right) \left(\frac{d\phi}{dt} \right)^2 + 2l(ql + k(1-l_2))(1+\phi) \frac{dl}{dt} \frac{d\phi}{dt} \right].$$

Входящие в уравнение Лагранжа (1) слагаемые $\frac{d}{dt} \frac{\partial K}{\partial \dot{p}_i}$ и $\frac{d}{dt} \frac{\partial K}{\partial \dot{p}_i}$, соответственно будут равны

$$\frac{\partial K_{III}}{\partial \dot{\phi}} = \frac{ql}{2g} \left[2(1+\phi) \left(\frac{dl}{dt} \right)^2 + l \frac{dl}{dt} \frac{d\phi}{dt} \right];$$

$$\frac{\partial K_{III}}{\partial \dot{\phi}} = \frac{ql}{2g} \left[\frac{2l^2}{3} \frac{d\phi}{dt} + l(1+\phi) \frac{dl}{dt} \right];$$

$$\frac{d}{dt} \frac{\partial K_{III}}{\partial \dot{\phi}} = \frac{ql}{2g} \left[\frac{2l^2}{3} \frac{d^2\phi}{dt^2} + 3l \frac{dl}{dt} \frac{d\phi}{dt} + 2 \left(\frac{dl}{dt} \right)^2 + l(1+\phi) \frac{d^2l}{dt^2} \right];$$

$$\frac{\partial K_{III}}{\partial \phi} = \frac{2(ql + k(1-l_2))}{2g} \frac{dl}{dt} \left[(1+\phi) \frac{dl}{dt} + l \frac{d\phi}{dt} \right];$$

$$\frac{\partial K_{III}}{\partial \phi} = \frac{1}{2g} \left[2l^2 \left(\frac{ql}{3} + k(1-l_2) \right) \frac{d\phi}{dt} + 2l(ql + k(1-l_2))(1+\phi) \frac{dl}{dt} \right];$$

$$\frac{d}{dt} \frac{\partial K_{III}}{\partial \dot{\phi}} = \frac{1}{2g} \left[2l^2 \left[\frac{ql}{3} + k(1-l_2) \right] \frac{d^2\phi}{dt^2} + \right.$$

$$2l \frac{dl}{dt} \left[2ql + 3k(1-l_2) + kl \right] \frac{d\phi}{dt} +$$

$$\left. + 2(1+\phi) \left[2ql + k(1-l_2) + kl \right] \left(\frac{dl}{dt} \right)^2 + l \left[ql + k(1-l_2) \right] \frac{d^2l}{dt^2} \right].$$

Работа внутренних и внешних сил, действующих на систему, состоит из работы силы веса троса, упругих сил и сил сопротивления движению.

Работа сил веса элемента нити длиной dx равна $dA_q = qXd dx$, тогда всей нити

$$A_q = q \int_0^{l(t)} X dx = q \int_0^{l(t)} (1-x)(1+\phi) dx = \frac{ql^2}{2} (1+\phi).$$

Работа упругих сил элемента нити равна

$$dA_E = -\frac{EF}{2} \left(\frac{\partial u}{\partial x} \right)^2 dx,$$

а всей системы

$$A_E = -\frac{EF}{2} \int_0^{l(t)} \phi^2 dx = -\frac{EF}{2} \phi^2 l.$$

Так как длина стяжного троса до 1000 м, будем учитывать лишь нормальную составляющую силы сопротивления [3]. Для участка стяжного троса длиной dl она равна $dR = [c_B + c_k(1-l_2)] \left(\frac{\partial u}{\partial x} \right)^2 dx$, где коэффициент $c_B = \frac{c\rho d}{2}$; c - коэффициент сопротивления троса, перпендикулярного вектору скорости ($c \approx 1,1$); ρ - плотность воды; d - диаметр троса; c_k - коэффициент сопротивления стяжных колец, перпендикулярного вектору скорости; $\frac{\partial u}{\partial x}$ - скорость кошелькования.

Отсюда

$$R = \int_0^{l(t)} [c_B + c_k(1-l_2)] \left(\frac{\partial u}{\partial x} \right)^2 dx =$$

$$= \int_0^{l(t)} [c_B + c_k(1-l_2)] \phi^2 dx = [c_B + c_k(1-l_2)] \phi^2 l.$$

Тогда работа сил сопротивления для элемента длиной dx

$$dA_R = -[c_B + c_k(1-l_2)] \phi^2 l dx,$$

и всего троса

$$A_R = -\int_0^{l(t)} [c_B + c_k(1-l_2)] \phi^2 l dx = -[c_B + c_k(1-l_2)] \phi^2 l^2.$$

Работа сил тяжести подходящих на третьем этапе стяжных колец равна

$$A_Q = Q\xi(t) = Ql(t) + Qu(l, t) = Ql(1 + \phi),$$

или, с учетом закона изменения веса колец, $A_Q = kl(1 - l_2)(1 + \phi)$.

Следовательно, вся работа внутренних и внешних сил, действующих на систему, и ее производная $\frac{\partial A}{\partial \phi}$ соответственно равны

$$A_{III} = A_q + A_E + A_R = \frac{ql^2}{2}(1 + \phi) - \frac{EF}{2}\phi^2 l - c_B \phi^2 l^2;$$

$$\frac{\partial A_{III}}{\partial \phi} = \frac{ql^2}{2} - EF\phi l - 2c_B \phi l^2;$$

$$A_{III} = A_Q + A_q + A_E + A_R = kl(1 - l_2)(1 + \phi) + \frac{l^2}{2}(1 + \phi) - \frac{EF}{2}\phi^2 l - [c_B + c_k(1 - l_2)]\phi^2 l^2;$$

$$\frac{\partial A_{III}}{\partial \phi} = kl(1 - l_2) + \frac{ql^2}{2} - EF\phi l - 2[c_B + c_k(1 - l_2)]\phi l^2.$$

Уравнение Лагранжа второго рода (1) тогда будет иметь вид.

- для первого и второго участков

$$\frac{ql^2}{3}\ddot{\phi} + ql\dot{\phi} + \left[\frac{ql}{2}\frac{d^2 l}{dt^2} + g(2c_B + EF) \right] \phi = \frac{ql}{2} \left(g - \frac{d^2 l}{dt^2} \right).$$

- для третьего участка

$$l \left[k(1 - l_2) + \frac{ql}{3} \right] \ddot{\phi} + \left[k + \frac{q}{3} - \frac{ql}{6} \right] \dot{\phi} + \left[g \{ 2(c_B + c_k(1 - l_2))l + EF \} + k \left(\frac{dl}{dt} \right)^2 \right] \phi = \left(g - \frac{d^2 l}{dt^2} \right) \left[k(1 - l_2) + \frac{ql}{2} \right] + \left(\frac{dl}{dt} \right)^2 (q - k)$$

Так как кошелькование невода на практике осуществляется по трапецидальной тахограмме (рис. 3), то для интегрирования на всех трех участках примем функцию $l = l(t)$ [2].

1) участок равноускоренного движения

$$l = l_0 - \frac{a_1 t^2}{2}, \quad \frac{dl}{dt} = -a_1 t, \quad \frac{d^2 l}{dt^2} = -a_1;$$

2) участок равномерного движения

$$l = l_1 - v_0 t, \quad \frac{dl}{dt} = -v_0, \quad \frac{d^2 l}{dt^2} = 0, \quad l_1 = l_0 - \frac{a_1 t_1^2}{2}, \quad v_0 = -a_1 t_1;$$

3) участок равнозамедленного движения

$$l = l_2 - v_0 t + \frac{a_2 t^2}{2}, \quad \frac{dl}{dt} = -v_0 + a_2 t, \quad \frac{d^2 l}{dt^2} = a_2,$$

$$l_2 = l_1 - v_0(t_2 - t_1).$$

Силу натяжения в любом сечении троса можно определить как

- на первом и втором участках $T_{I,II} = EF\phi + c_B l \left(\frac{dl}{dt} \right)^2$

- на третьем участке $T_{III} = EF\phi + (c_B l + c_k(1 - l_2)) \left(\frac{dl}{dt} \right)^2$

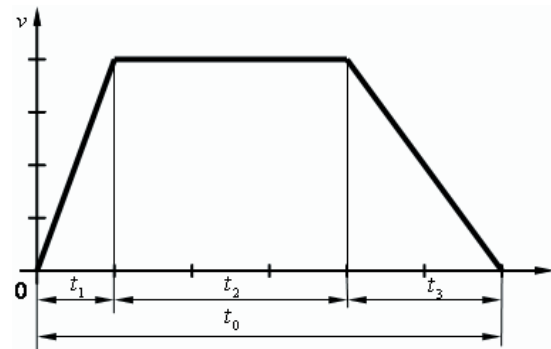
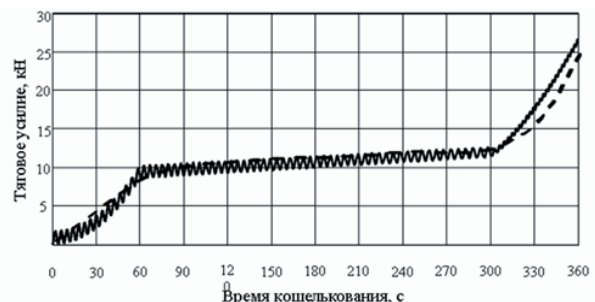


Рис. 3. Тахограмма процесса кошелькования невода

С 1970 по 2000 год различными научно-исследовательскими организациями проводились натурные исследования процесса лова кошельковым неводом. В ходе проведенных исследований определялись скорость и направление течения, скорость ветра, скорость кошелькования и сила натяжения стяжного троса.

На рис. 4 приведены расчетная динамограмма тягового усилия на всех трех этапах кошелькования, полученная методом Рунге-Кутты и осредненная экспериментальная динамограмма.



- расчетное, - - - - - среднее экспериментальное

Рис. 4. Динамограмма тягового усилия неводовыборочного комплекса на этапе кошелькования

3. Выводы

В результате проведенных исследований была получена математическая модель работы неводовыборочного комплекса на этапе кошелькования. Результат имитационного моделирования хорошо согласуется с экспериментальными данными. Таким образом, полученная модель может быть использована при проектировании и исследовании неводовыборочных машин.

Література

1. Торбан С.С. Промысловые механизмы для комплексной механизации кошелькового лова рыбы. / С.С. Торбан // М.: Пищевая промышленность, 1971 – 384 с.
2. Фещенко С.Ф. Асимптотические методы в теории линейных дифференциальных уравнений. / С.Ф. Фещенко, Н.И. Шкиль, Л.Д. Николенко // К.: Наукова думка, 1966 – 252 с.
3. Фридман А.Л. Теория и проектирование орудий промышленного рыболовства. / А.Л. Фридман // М.: Легкая и пищевая промышленность, 1981 – 328 с.

Abstract

The article is dedicated to the study of the dynamic loads of seine-selective complex in the process of pursing.

The pursing process is the second stage of fishing by the purse seine. The pursing should be carried out at such a rate to prevent the escape of fish from the seine. For this purpose, generally the seine is pursed as quickly as possible. At this stage, seine-selective complex undergo big dynamic loads. Their quantity is determined by external factors such as wind, current, waves, etc.

As a result of the research the mathematical model of the seine-selective complex operation during pursing was obtained. The difference of obtained model from existing ones consists in representation of a purse line in the form of a variable length thread. The result of simulation conforms to the experimental data. The obtained model can be used to design and study seine-selective machines

Keywords: *mathematical model, dynamics of the process, seine-selective complex, variable length thread*

Метою статті є представлення результатів розробки нелінійної об'єктно-орієнтованої математичної моделі мехатронного модуля поступального руху, побудованого із використанням електрогідравлічних перетворювачів нормально-закритого типу. Для вирішення поставленої задачі використовувалися методи електротехніки, теоретичної механіки, гідравліки

Ключові слова: мехатронний модуль, електрогідравлічний перетворювач нормально-закритого типу, нелінійна об'єктно-орієнтована математична модель

Целью статьи является представление результатов разработки нелинейной об'єктно-ориентированной математической модели мехатронного модуля поступательного движения, построенного с использованием электрогидравлических преобразователей нормально-закритого типа. Для решения поставленной задачи использовались методы электротехники, теоретической механики, гидравлики

Ключевые слова: мехатронный модуль, электрогидравлический преобразователь нормально-закритого типа, нелинейная об'єктно-ориентированная математическая модель

УДК 681.527.3:623.438

МАТЕМАТИЧНА МОДЕЛЬ МЕХАТРОННОГО МОДУЛЯ, ПОБУДОВАНОГО ІЗ ВИКОРИСТАННЯМ НОРМАЛЬНО-ЗАКРИТИХ ЕЛЕКТРОГІДРАВЛІЧНИХ ПЕРЕТВОРЮВАЧІВ

О.Є. Скворчевський

Кандидат технічних наук

Кафедра організації виробництва та управління персоналом

Національний технічний університет

«Харківський політехнічний інститут»

вул. Фрунзе, 21, м. Харків, Україна, 61002

Контактний тел.: 050-327-71-21

E-mail: skvorchevsky@mail.ru

1. Вступ

Останні 25-30 років розвитку гідроприводів спостерігається стійка тенденція до все більшого вико-

ристання гідравлічної апаратури та насосів із пропорційним електричним керуванням. Сформовані наприкінці 80-х років конструктивні схеми пропорційної гідроапаратури, залишаються актуальними і